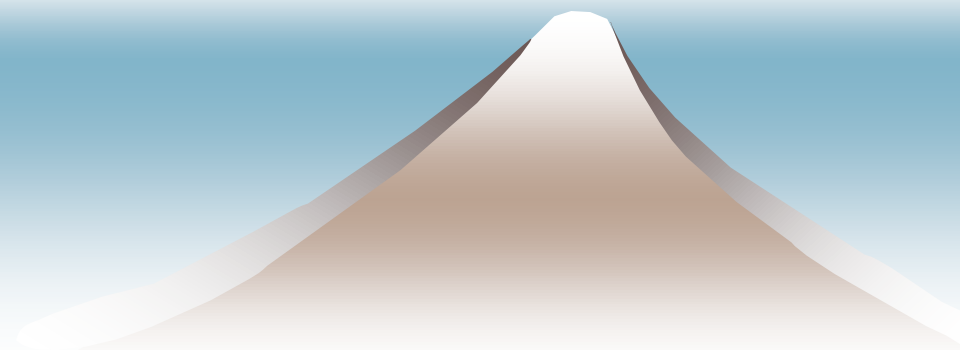


# 演習問題

注1： 番外問題は，番外である理由がある

注2： 余裕のある人はそちらもどうぞ

注3： ただし，解答・解説は演習優先



# 演習 0.

下の Tait の定理を示せ.

Tait (1884) :

任意の 3-連結 3-正則平面グラフが  
ハミルトン閉路を持つ

False

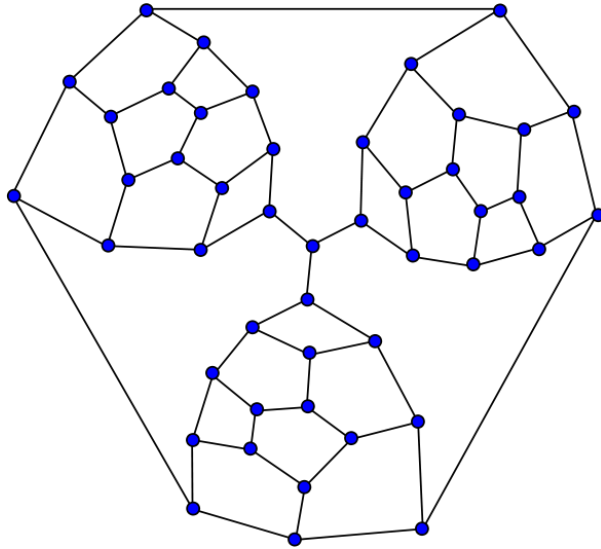


任意の平面グラフは 4-彩色を持つ

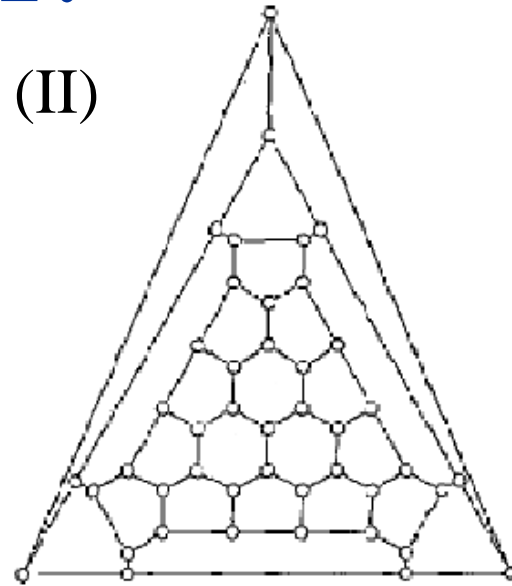
True (4色定理)

# 演習 1.

(I)



(II)



上はどちらも **3-連結 3-正則平面グラフ** である

これらが **ハミルトン閉路** を 持たない ことを示せ. (Tutte, '46, '72)

左 : [https://en.wikipedia.org/wiki/Tutte\\_graph](https://en.wikipedia.org/wiki/Tutte_graph)

右 : M.N. Ellingham, Spanning paths, cycles and walks for graphs on surfaces, Congr. Numer. 115 (1996) 55–90.

# 演習 2.

下の Grinberg の定理 (68) を示せ.

$G$ : 平面グラフでハミルトン閉路  $C$  を持つ

$F_{\text{int}}, F_{\text{out}}$  : それぞれ  $C$  の内側, 外側の面の集合

$|f|$  : 面  $f$  の境界の長さ

このとき, 
$$\sum_{f \in F_{\text{out}}} (|f| - 2) = \sum_{f \in F_{\text{out}}} (|f| - 2)$$
 が成り立つ.

# 演習 3.

下の (I) 左, (II) 右をそれぞれを示せ.

$\forall F^2$ : 閉曲面

$\forall G$ : 4-連結グラフ on  $F^2$

$\forall S$ :  $G$  の頂点集合,

$$\begin{aligned} G - S \text{ の成分数} \\ \leq |S| - \chi(F^2) \end{aligned}$$

$\forall F^2$ : 閉曲面

$\exists G$ : 4-連結三角形分割

$\exists S$ :  $G$  の頂点集合,  
s.t.

$$\begin{aligned} G - S \text{ の成分数} \\ = |S| - \chi(F^2) \end{aligned}$$

# 演習 4.

下を示せ.

(I) 任意の 4-連結平面グラフは 1-ハミルトン連結である.

Hint : Sanders の Tutte 道の定理を使う.

(II) 平面グラフの 1-ハミルトン連結性の判定問題は P である.

(III) 平面グラフのハミルトン連結性の判定問題は NP-完全である.

$G$  が 1-ハミルトン連結 (1-HC)

$\stackrel{\text{def}}{\iff}$  任意の頂点  $v$  に対し,  $G - v$  がハミルトン連結.

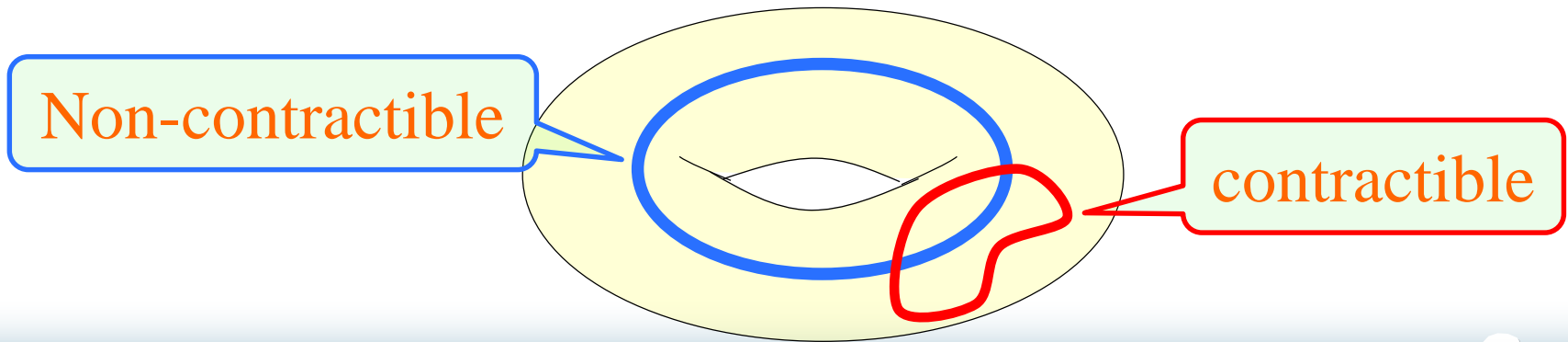
# 演習 5.

(I) トーラス上のグラフは,

contractible なハミルトン閉路を持たば

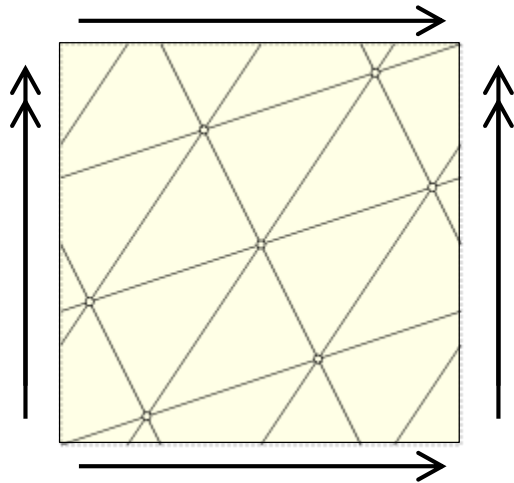
5ページ埋め込みを持つことを示せ

(II) これは 4ページ埋め込みへ拡張できるか?



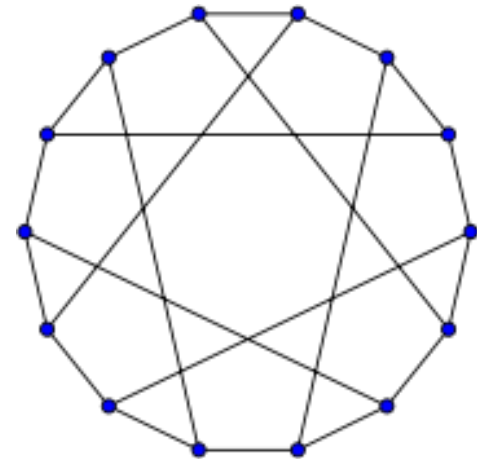
# 演習 6.

$K_7$  の dual としてトーラスに埋め込まれた Heawood グラフは contractible なハミルトン閉路を持たないことを示せ.



トーラス上の  $K_7$

dual



Heawood グラフ

<http://www.amotlpaa.org/math/k7torus.html>

[https://en.wikipedia.org/wiki/Heawood\\_graph](https://en.wikipedia.org/wiki/Heawood_graph)

# 演習 7.

下の予想に関して，以下を示せ．

予想 (Malkevitch `88)

$G$  : 長さ 4 の閉路を含む 4-連結平面グラフ

$\Rightarrow G$  : **pancyclic** (長さ 3 ~  $|G|$  の閉路をすべて含む)

- (I) 「長さ 4 の閉路を含む」という仮定は必要である．
- (II) 「長さ 3 の閉路を含む」という仮定は必要ない．
- (III)  $|G| \geq 5$  ならば，長さ  $|G|$ ,  $|G| - 1$ ,  $|G| - 2$  の閉路を持つ．
- (IV) 予想は三角形分割に限定すると正しい．

# 演習 8.

$G$ : ハミルトン連結なグラフ

このとき,

$\forall S$ : 切断集合,  $G - S$  の成分数  $\leq |S| - \varepsilon$

が  $\varepsilon = 1$  で成り立つことを示せ.

また,  $G$ : 2-ハミルトンなグラフ,

または,  $G$ : 1-ハミルトン連結なグラフ, のとき,

上が  $\varepsilon = 2$  で成り立つことを示せ.

# 演習番外 1. (確認が面倒)

ハミルトン閉路を持たないグラフ  $G$  で、

下の条件を  $t$  がなるべく大きい値で満たさないものを見つけよ

$$(*) \forall S: \text{切断集合}, (G - S \text{ の成分数}) \leq \frac{1}{t} |S|$$

$t = 1 - \varepsilon$  : ほぼ自明

$t = 4/3$  : ある有名なグラフがこれ

$t = 3/2$  : Chvatal '73 (最初の予想は「 $t > 3/2$  では不可能」)

$t = 2 - \varepsilon$  : Thomassen '78 (これ以降 2-tough 予想と呼ばれる)

$t = 9/4 - \varepsilon$  : Bauer, Broersma, Veldman '00 (現在の記録)

# 演習番外 2. (基本だが・・・)

$G$  : 平面グラフ,  $C$  : 外領域の境界歩道

$x$  :  $C$  上の頂点,  $e$  :  $C$  上の辺,  $y \in V(G) - \{x\}$

$\exists x$  から  $y$  への道で  $e$  を通るもの

$$e = uv$$

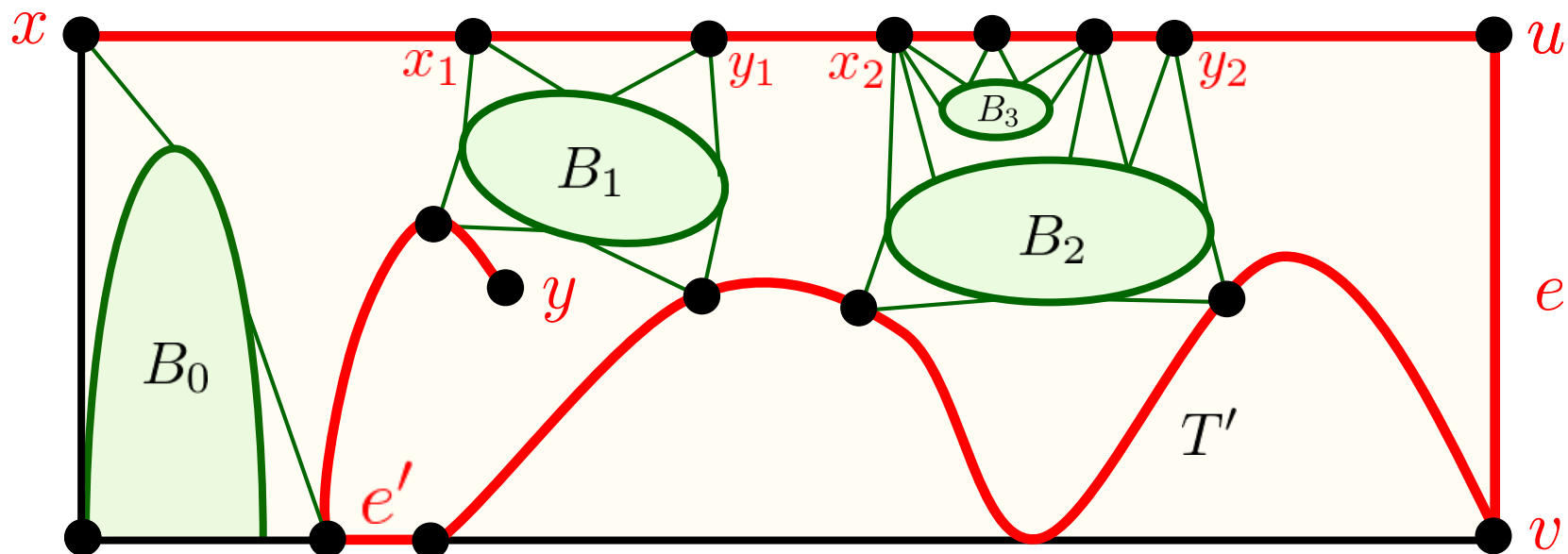
$C[x, u]$  :  $C$  の時計まわりの部分歩道で  $x$  から  $u$  まで

このとき,

$G - V(C[x, u])$  に  $v$  から  $y$  への道が存在するか,

または,  $G - V(C[v, x])$  に  $u$  から  $y$  への道が存在する, を示せ

# 演習番外 3. (意外と大変)



$C[x_i, y_i] \cap C[x_j, y_j] \neq \emptyset \Rightarrow C[x_j, y_j] \subseteq C[x_i, y_i]$  または  $C[x_i, y_i] \subseteq C[x_j, y_j]$

これを示せ.

(できれば, **Jordan 閉曲線定理**を使わない証明が良い)

# 演習番外 4. (気になる人向け)

Thomassen と, 河原林 & 小関の **Tutte 道** の証明は,  
ともに構成的でアルゴリズムとなるが,  
その時間計算量を求めよ.

# 演習番外 5. (未解決問題)

系

$G$ : 閉路的-4-辺連結 3-正則平面グラフ

$\Rightarrow G$  は長さ  $\frac{3}{4}|G|$  以上の閉路を持つ

上の係数  $3/4$  を (二部グラフで) 改良せよ

# 演習番外 6. (本気の人向け)

補題 (中本, 野澤, 小関, '15+)

$G$ : 2-連結平面グラフ

$C$ : 外領域の境界歩道

$s, y, t, x$ :  $C$  上の頂点  $sy \in E(G)$

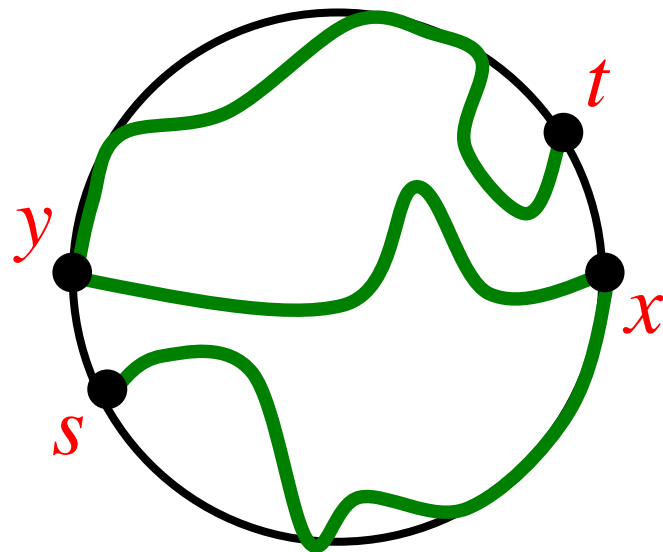
( $C$  にこの順で現れる)

$\exists$   $s$  から  $t$  への道で  $x, y$  を順に通るもの



$\exists$   $s$  から  $t$  への  $C$ -Tutte 道で  
 $x, y$  を順に通るもの

左を示せ



Hint:

$V(C(x, s])$  を除去し,  
Thomassen の証明を使う